



# タンクスチン多価イオンの可視・ EUV領域発光線の観測

三田百恵<sup>1</sup>、村上泉<sup>2,3</sup>、加藤太治<sup>2,3</sup>、坂上裕之<sup>2</sup>、中村信行<sup>1</sup>  
<sup>1</sup>電通大レーザー、<sup>2</sup>核融合研、<sup>3</sup>総研大核融合

2016/12/20 素過程研究会

# ITERとプラズマ診断

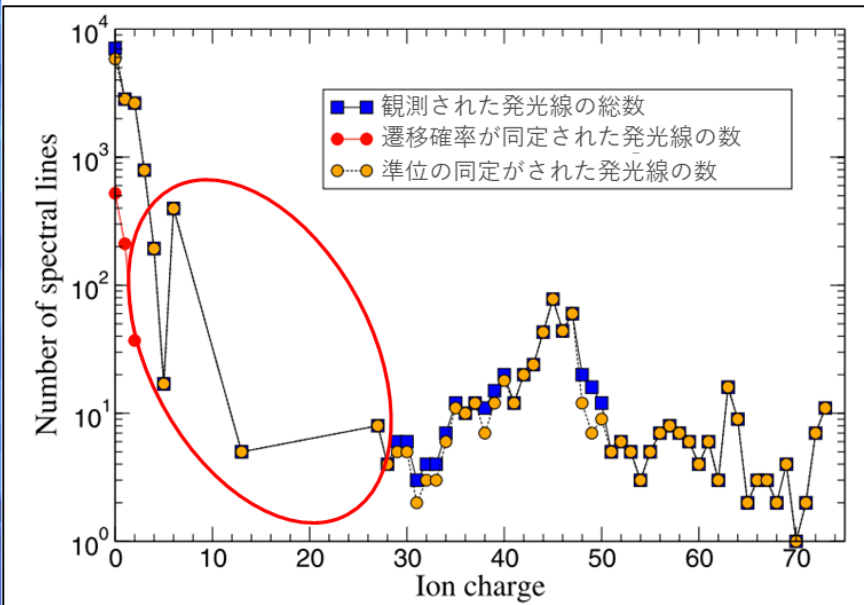


図. 今までに観測されたタンゲステンの発光線の数 [1]

タンゲステンの分光データは  
プラズマ診断に有用



深刻なデータ不足

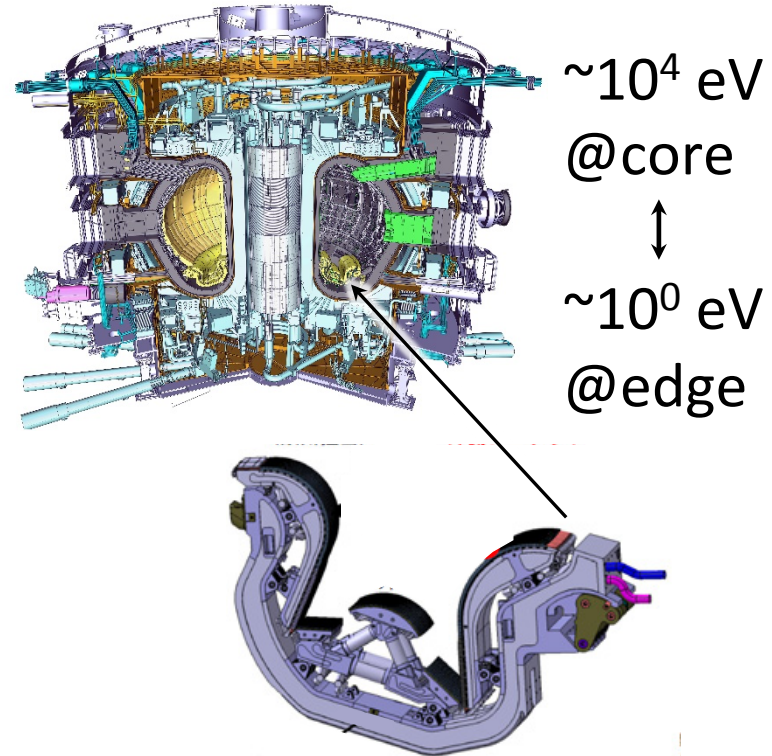


図. ITERとダイバータの断面図 [2, 3]

[1] Yuri Ralchenko, *Plasma Fusion Res.* **8**, 2503024 (2013).

[2]<https://www.iter.org/>

[3]<http://www.naka.jaea.go.jp/ITER/index.php>

# タンクステンの存在度

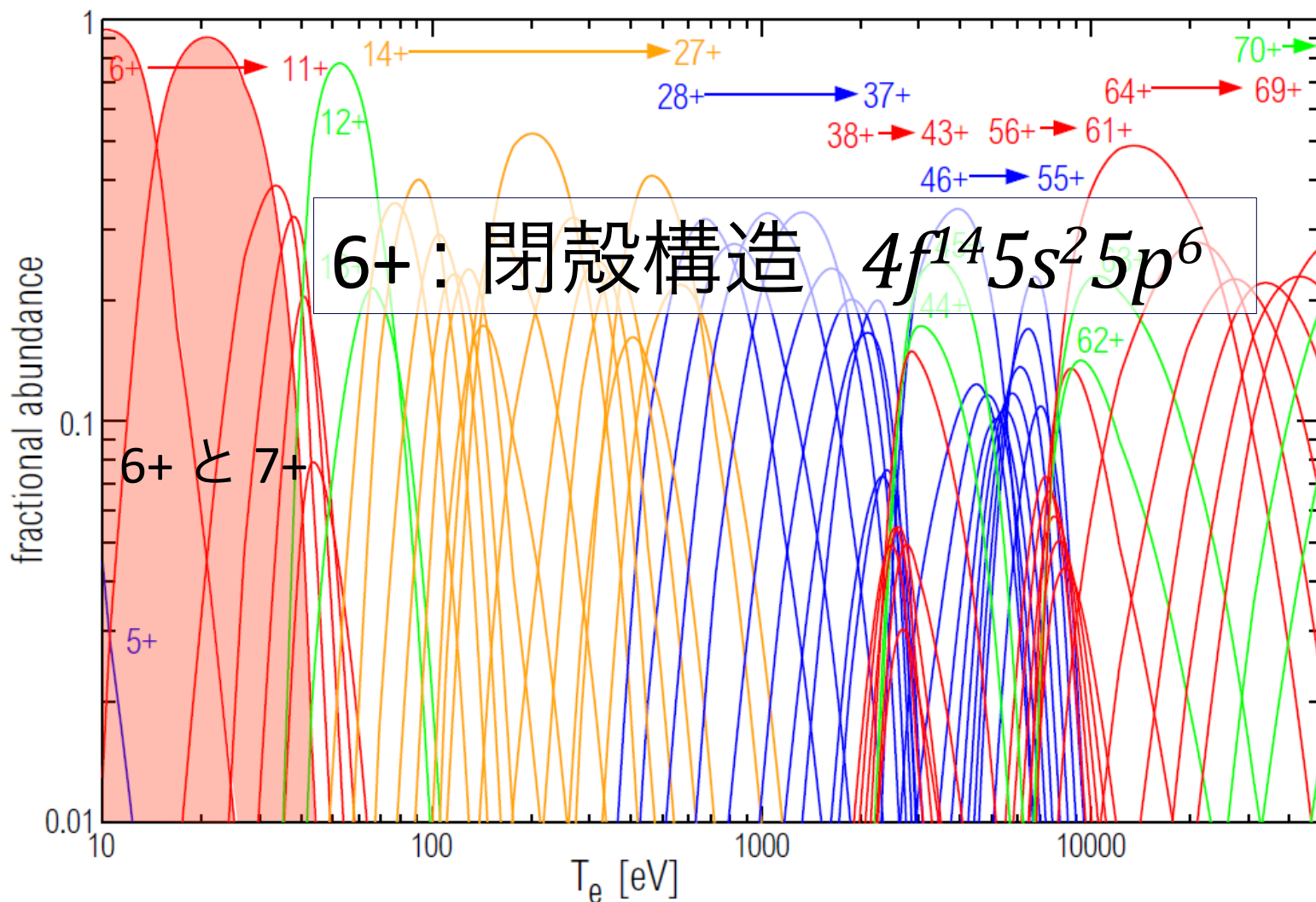


図. プラズマ温度と存在するタンクステンの価数の割合[1]

# 過去の実験 (LLNL EBIT)

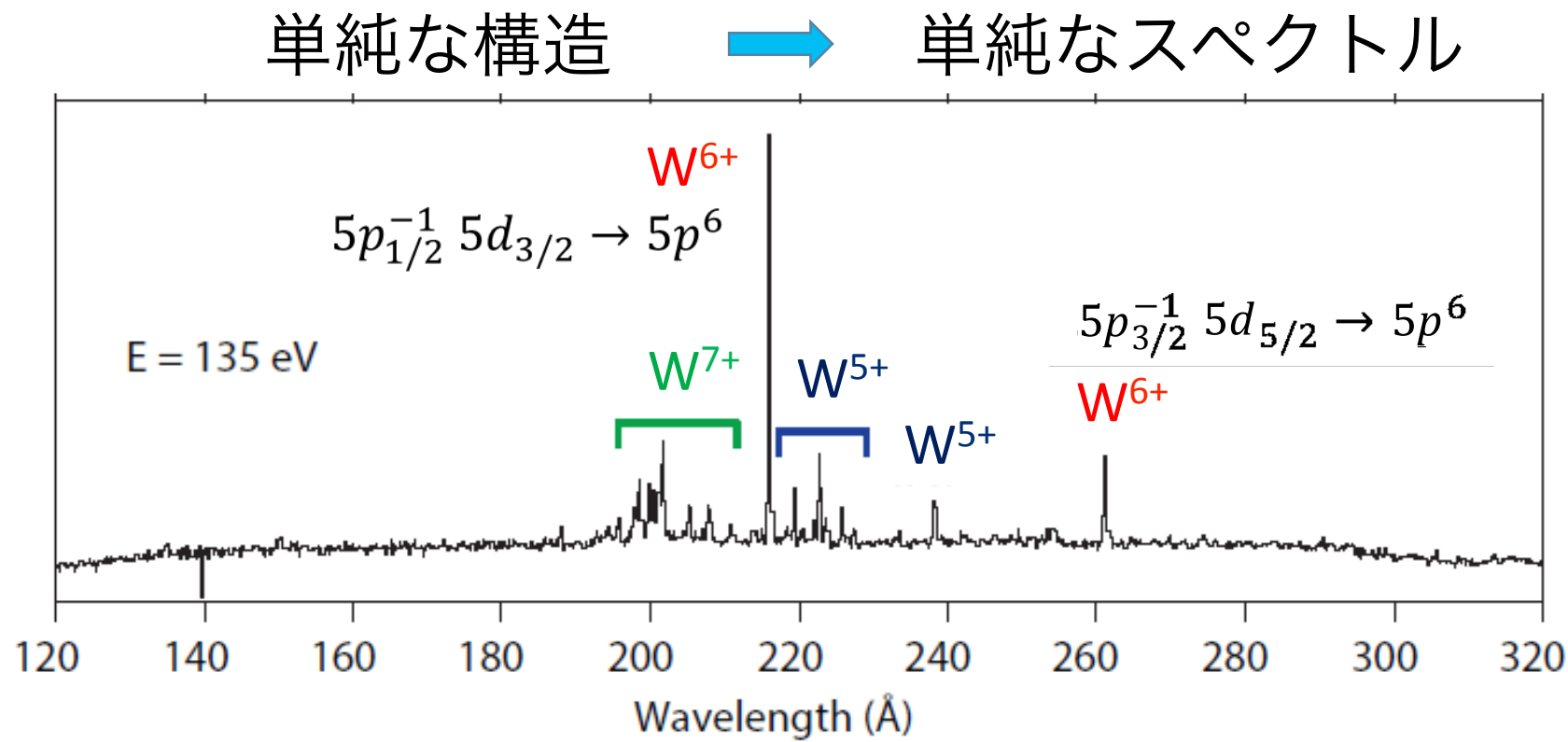


図. Livermore groupによるEUV領域スペクトル[1]

[1] J. Clementson et al, *Atoms* 3(3):407-421 (2015)

# $\alpha$ 変動

PRL 106, 210802 (2011)

PHYSICAL REVIEW LETTERS

week ending  
27 MAY 2011

## Electron-Hole Transitions in Multiply Charged Ions for Precision Laser Spectroscopy and Searching for Variations in $\alpha$

J. C. Berengut, V. A. Dzuba, V. V. Flambaum, and A. Ong

School of Physics, University of New South Wales, Sydney, New South Wales 2052, Australia

(Received 14 March 2011; published 27 May 2011)

TABLE III. Energy levels and sensitivity coefficients ( $q$ ) relative to the ground state for  $W^{7+}$  ( $\text{cm}^{-1}$ ).

Configuration	$J$	Energy		$q$
		This work	[15]	
$4f^{13}5p^{62}F^o$	7/2	0	0	0
	5/2	18 199	17 440	16 462
$4f^{14}5p^{52}P^o$	3/2	4351	800 (700)	87 544
	1/2	93 908	87 900 (700)	200 269

$W^{7+}$  の 微細構造

$\alpha$  変動に 敏感

J. C. Berengut et al, Phys. Rev. Lett. 106, 210802 (2011).

# 電子ビームイオントラップ(EBIT)

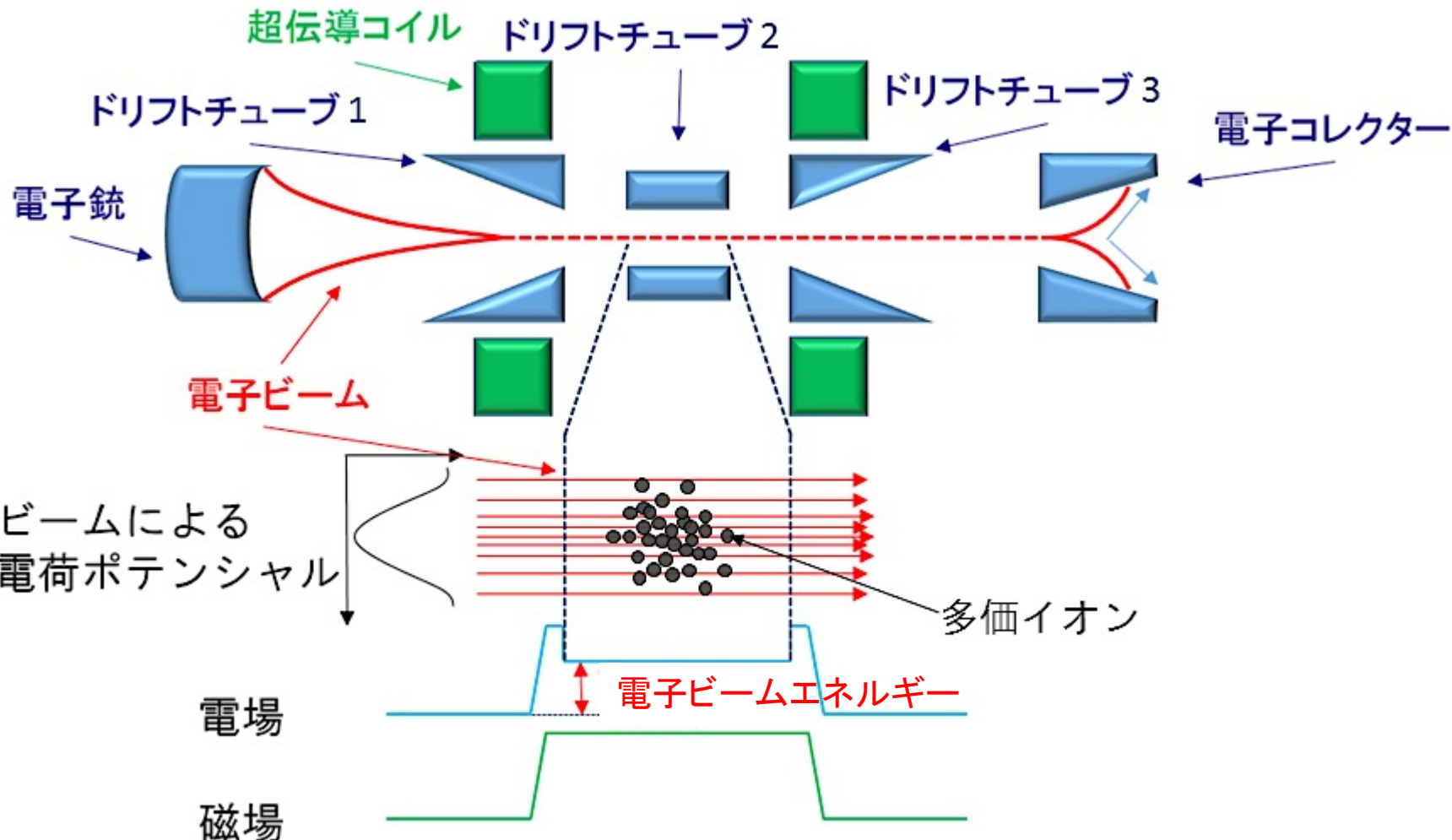


図. EBITの概略図と多価イオンの生成原理図

# 電通大で所持するEBIT



図. Tokyo-EBIT

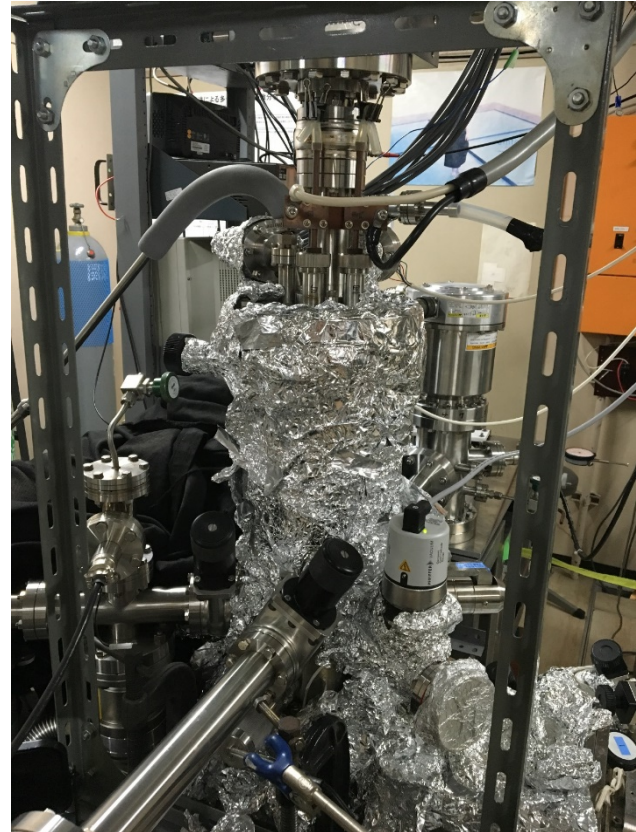


図. Compact EBIT (CoBIT)

# 実験方法

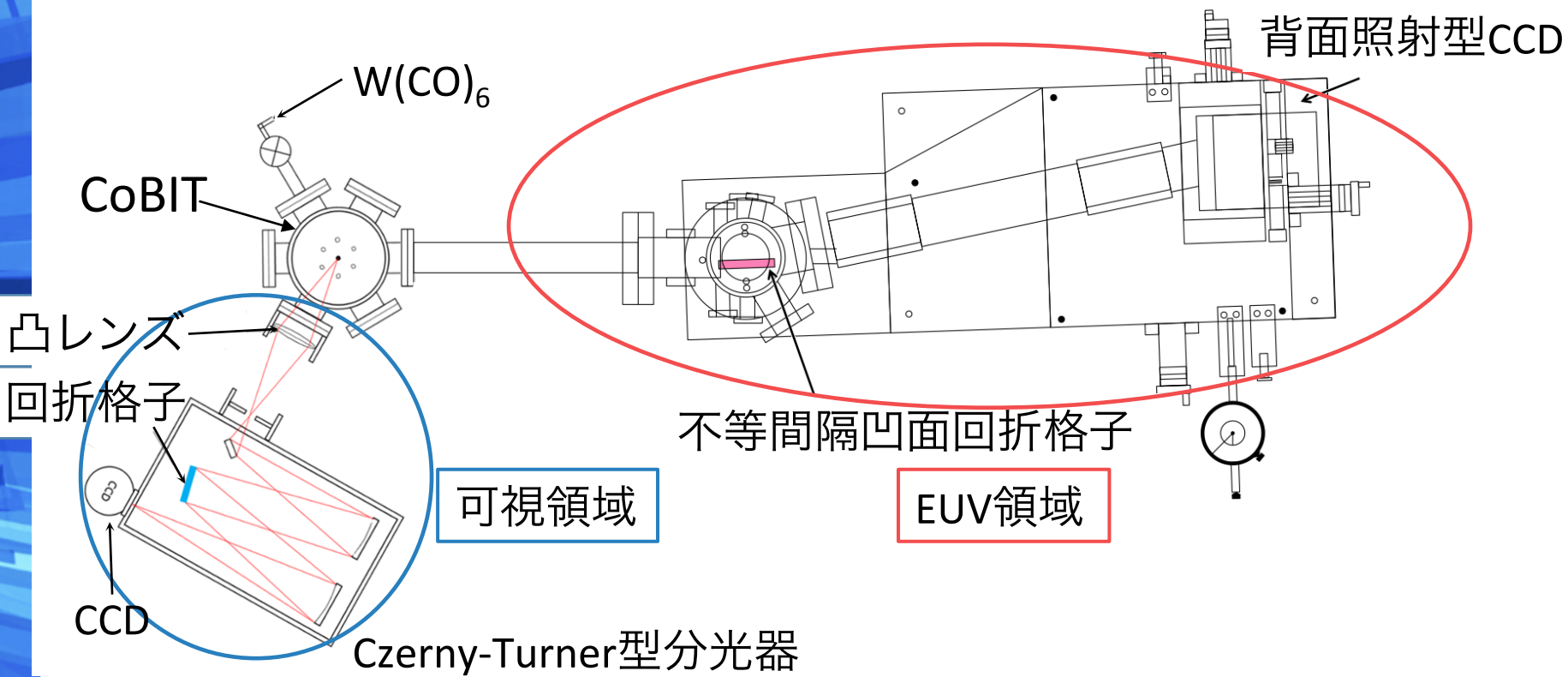


図. CoBITと測定系

# 実験結果 – 可視領域

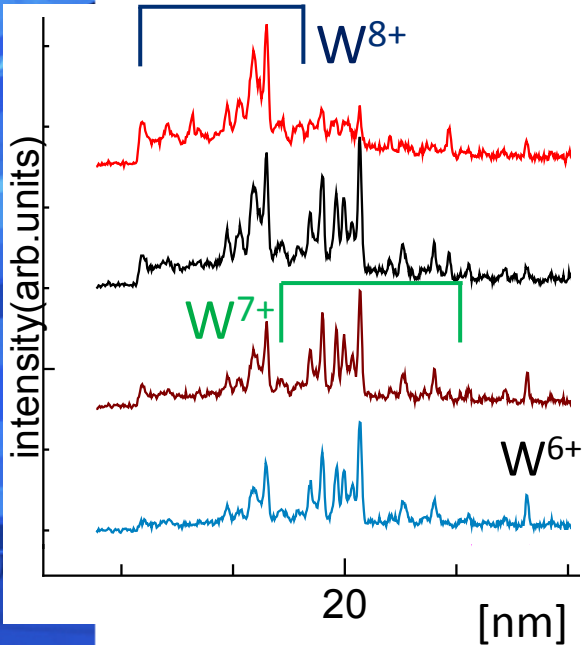


図. 本実験で得られたEUV領域スペクトル (18~22 nm)

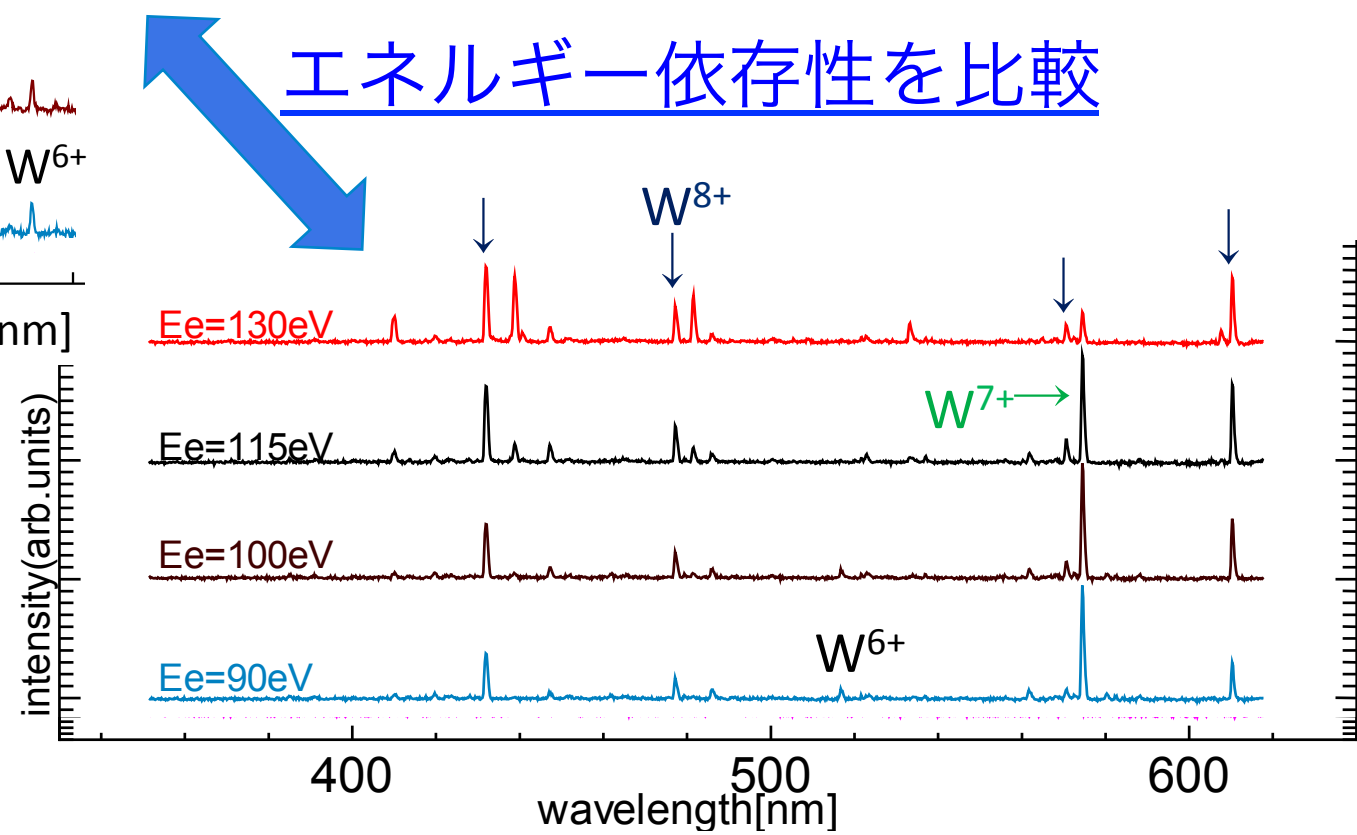
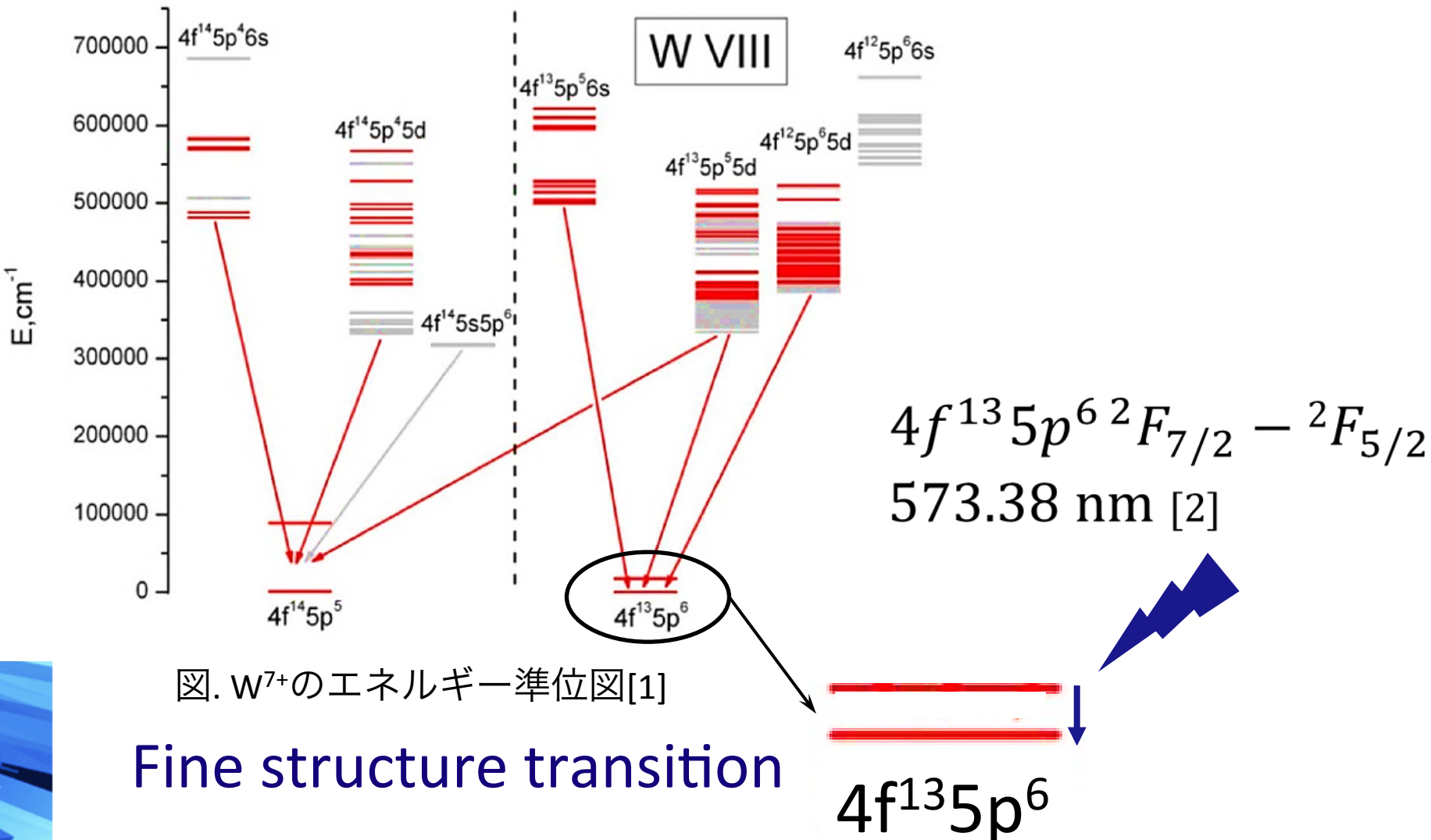


図. 本実験で得られた可視領域スペクトル

# 実験結果 – 可視領域



# 結論

- 可視領域、EUV領域発光線を観測した
- 未報告の発光線が多数観測された
- 価数は電子ビームエネルギー依存性のほか様々な実験によって決定した
- $W^{7+}$ の基底準位の微細構造分裂間のM1遷移を直接観測した